

تحول سیال‌های کانسارساز و ژنز کانسار آهن نوکه شمال سمنان: بر پایه شواهد میانبارهای سیال و ایزوتوب‌های پایدار (S, C, O)

سمیه اسماعیل‌نژاد^۱، نادر تقی‌پور^{۲*} و علی‌اکبر حسن‌نژاد^۱

^۱ کارشناسی ارشد، دانشکده علوم زمین، دانشگاه دامغان، دامغان، ایران

^۲ استادیار، دانشکده علوم زمین، دانشگاه دامغان، دامغان، ایران

تاریخ پذیرش: ۱۳۹۵/۰۶/۲۸ | تاریخ دریافت: ۱۳۹۵/۰۱/۲۹

چکیده

کانسار آهن نوکه در شمال سمنان و در جنوب پهنه ساختاری البرز مرکزی قرار گرفته است. سنگ‌های آتشفشاری -آذرآواری با سن اثوسن سنگ میزبان این کانسار هستند. کانی‌زایی آهن به صورت توده‌ای، افshan، رگه‌ای و برشی در کانسار نوکه رخ داده است و مگنتیت، هماتیت، پیریت، کالکوپیریت، گارنت، اپیدوت، کوارتز و کلسیت از کانی‌های اصلی این کانسار هستند. از میانبارهای سیال و ایزوتوب‌های پایدار گوگرد، کربن و اکسیژن برای تعیین شرایط تحول سیال‌های گرمابی و ژنس کانسار آهن نوکه، استفاده شده است. بر پایه تعداد فاز، هفت نوع میانبار سیال در کانی کوارتز شامل تک‌فازی مایع (L)، دوفازی غنی از مایع (L+V)، دوفازی غنی از گاز (V+L)، تک‌فازی گاز (V)، سه‌فازی مایع-گاز-هالیت (L+V+S)، دوفازی مایع-هالیت (L+S) و سه‌فازی مایع-گاز-کیدر (L+V+O) تشخیص داده شد. بیشترین محدوده دمای همگن شدگی پایانی و شوری میانبارهای سیال دوفازی غنی از مایع در کانی کوارتز به ترتیب ۱۰۰ تا ۲۰۰ درجه سانتی گراد و ۱۰ تا ۲۰ درصد وزنی معادل نمک طعام است. در حالی که محدوده دمای همگن شدگی پایانی و شوری میانبارهای سیال دوفازی غنی از گاز به ترتیب ۳۵۰ تا ۵۰۰ درجه سانتی گراد و معادل ۱۰ تا ۳۰ درصد وزنی معادل نمک طعام است. همچنین دمای همگن شدگی میانبارهای سیال دوفازی غنی از مایع در کلسیت‌های پهنه‌گارنت (نوع a) و کلسیت‌های پهنه‌مگنتیت (نوع b) شامل ۷۵ تا ۱۲۵ درجه سانتی گراد است؛ اما شوری میانبارهای سیال دوفازی غنی از مایع ۸٪ NaCl (۱۵-۲۵ wt. %) در کلسیت‌های پهنه‌گارنت بیشتر از شوری میانبارهای سیال دوفازی غنی از مایع (۱۰ wt. %) در کلسیت‌های پهنه‌گارنت است. مقادیر ۱۳C و ۱۸O کانی کلسیت (۱۵ نمونه) کانسار آهن نوکه به ترتیب از ۱۹/۱٪_(PDB) و از ۱۹/۴٪_(SMOW)-تا ۱۴/۹٪_(SMOW)-در تغییر است. مقدار میانگین Water-O¹⁸ محلول گرمابی در کانسار آهن نوکه +۱۷/۵۸٪_(CDT) از ۴۳/۹٪_(CDT)+۵/۴٪ تغییر می‌کند که شاندنه سولفور با مشتاً ماگمایی است. پیریت فاز اصلی سولفیدی موجود در کانسار آهن نوکه است و مقادیر ۳۴S این کانی (۹ نمونه) از ۴۳/۹٪_(CDT) تا ۱۷/۵۸٪_(CDT) تغییر می‌کند که شاندنه سولفور با مشتاً ماگمایی است. داده‌های میانبارهای سیال و ایزوتوب‌های پایدار کربن، اکسیژن و گوگرد گویای این است که سیال‌های کانسارساز به وسیله آمیختگی شوراب‌های ماگمایی با آب جوی گسترش یافته است و احتمالاً ژنس کانسار آهن نوکه مشابه کانسارهای نوع اسکارن است.

کلیدواژه‌ها: میانبارهای سیال، ایزوتوب پایدار، کانسار آهن نوکه، سمنان.

***نویسنده مسئول:** نادر تقی‌پور؛

E-mail: taghipour@du.ac.ir

۱- پیش‌نوشتار

کانسار آهن نوکه با ذخیره سه میلیون تن و عیار آهن ۵۵ درصد در فاصله ۱۲ کیلومتری شمال سمنان و در عرض‌های جغرافیایی ۳۶° ۳۵' ۳۵'' شمالی و طول‌های جغرافیایی ۲۰° ۳۰' ۵۳'' خاوری جای دارد. در این منطقه چندین کانسار و اثر معدنی آهن، در محل تماس توده نفوذی گرانیتوییدی با ترکیب حد بواسطه تا اسیدی در سری سنگ‌های آتشفشاری -آذرآواری اثوسن تشکیل شده‌اند (غیاثوند و همکاران، ۱۳۸۸). این کانی‌زایی‌ها بیشتر ترکیب مگنتیتی دارند و از کانی‌های سولفیدی می‌توان به پیریت و کالکوپیریت اشاره کرد. از مطالعات پیشین انجام یافته در این منطقه می‌توان به بررسی سنگ‌شناسی (صمدی، ۱۳۷۷)، مطالعه بافت و ساخت ماده معدنی، مطالعه عناصر جزئی، بررسی انواع دگرسانی و تهیه نقشه زمین‌شناسی -معدنی منطقه با مقیاس ۱:۲۰۰۰ (غیاثوند و همکاران، ۱۳۸۴)، سنگ‌شناسی و ژئوشیمی توده‌های نفوذی شمال- شمال خاور سمنان (شاه‌حسینی و همکاران، ۱۳۸۶) و تجزیه مایکروپروب کانی‌های سازنده اسکارن‌های کلسیک آهن دار شمال سمنان (شهری و همکاران، ۱۳۸۹) اشاره کرد.

وجود میانبارهای سیال پایداری رایج در بلورهای (Bodnar, 2003). میانبارهای سیال، ابزار بسیار مناسبی برای شناخت شرایط فیزیکوشیمیایی سیال‌های گرمابی مسئول ایجاد و گسترش دگرسانی و فرایندهای کانی‌زایی هستند و به عبارتی، حجم‌های کوچکی از سیال تشکیل‌دهنده کانسار هستند که ضمن تبلور کانی‌ها یا پس از تبلور در شکستگی‌های ریز یا در سطوح رخ و فضاهای ناشی از نقص بلوری کانی میزبان، به دام افتاده‌اند (Shepherd et al., 1985) و از سوی دیگر پی بردن به ماهیت و تکامل فاز سیال برای ارائه مدل‌های تشکیل کانسار و اکتشاف آنها بسیار مهم است. هدف از این مطالعه، بررسی میانبارهای سیال و مطالعه ایزوتوب‌های پایدار

گوگرد، کربن و اکسیژن کانی‌های پیریت و کلسیت در کانسار آهن نوکه به منظور تعیین ویژگی‌های فیزیکوشیمیایی سیال گرمابی و تعیین ژنس کانسار آهن نوکه است.

۲-زمین‌شناسی منطقه

کانسار آهن نوکه از دید ساختاری در جنوب پهنه ساختاری البرز مرکزی جای دارد (شکل ۱-الف). از دید چینه‌شناسی، بروزنزدهای پالنوزوییک در کوه چندران و نار کان که به ترتیب در حاشیه باختری و خاوری منطقه مورد بررسی، قرار گرفته‌اند شامل سنگ‌های آهکی، دولومیتی و شیلی است. بروزنزدهای ژوراسیک شامل ماسه‌سنگ و شیل است که روی سازندهای پالنوزوییک قرار گرفته‌اند. پیکره‌های سنگی اصلی منطقه را سنگ‌های آذرین و رسویی تشکیل می‌دهند که شامل رسوبات ماسه‌سنگی و کنگلومرایی کرتاسه، سنگ‌های آتشفشاری، آتشفشاری- آتشفشاری- رسویی و نفوذی‌های سوزن‌زیک هستند (شکل ۱-ب). بروزنزدهای کرتاسه بالای در کوه نوکه، شامل ماسه‌سنگ، کنگلومرای سرخ رنگ، مارن و آهک است. ماسه‌سنگ‌های یاد شده دانه‌درشت و سرخ رنگ هستند که درون آن به طور پراکنده قله‌های گرد شده آهک فسیل دار و چرت دیده می‌شود. سنگ‌های آهکی این منطقه نیز دارای آثار فسیل‌های دوکفه‌ای و گرهک‌های چرتی هستند. رسوبات اثوسن معادل سازند کرج شامل مارن دارای فسیل نومولیت، توف، کنگلومرا، ماسه‌سنگ، گدازه و سنگ‌های آذرآواری با ترکیب داسیت و آندزیت هستند. بروزنزدهای اثوسن- الیکوسن شامل گچ و لایه‌هایی از مارن است. رسوبات نوثورن شامل مارن، مارن ماسه‌ای و کنگلومرا و رسوبات کواترنر شامل نهشته‌های رودخانه‌ای، نهشته‌های سیلابی با درخت‌ها و خاک و سنگ‌ریزه و لایه‌های رسی است.

آن مربوط به مراحل پس از ایجاد گارنت و مگنتیت در کانسار آهن نوکه است (جدول ۱). کانی کوارتز به صورت بلورهای شکل دار هگزاگونال و به صورت پرکننده فضای خالی (شکل ۲-خ) همراه با پهنه مگنتیت و همچنین به صورت رگه‌ای (شکل ۲-د) در این پهنه تشکیل شده است. پیریت فراوان‌ترین کانی سولفیدی در کانسار آهن نوکه است که همراه با کلسیت در پهنه مگنتیت دیده می‌شود (شکل ۳-ذ). این کانی به صورت افسان (شکل ۳-الف) و رگه‌ای (شکل ۳-ب) کانی مگنتیت را قطع کرده است (جدول ۱). کانی کالکوپیریت به صورت جذبی به همراه مگنتیت و پیریت حضور دارد و پیرامون آن به وسیله فرایندهای هوازدگی توسط کوولیت جایگزین شده است (شکل ۳-پ). کانی هماتیت به صورت ثانویه و در اثر هوازدگی کانی مگنتیت تشکیل شده است و به صورت جانشینی در پیرامون کانی مگنتیت دیده می‌شود (شکل ۳-ت).

۴- مواد و روش‌ها

بلورهای هگزاگونال کوارتز به صورت همراه با مگنتیت و کلسیت‌های همراه با گارنت (نوع a) و کلسیت‌های همراه با مگنتیت و پیریت (نوع b) برای مطالعه میانوارهای سیال انتخاب شدند. برای مطالعه میانوارهای سیال در این کانسار، ۳ نمونه مقطع نازک دوپر صیقل از کوارتز و ۳ نمونه مقطع نازک دوپر صیقل از کلسیت تهیه و مطالعه شد. مقاطع آماده شده برای بررسی نوع میانوارهای سیال از نقطه نظر رابطه زیشی با یکدیگر، شکل و ابعاد توسط میکروسکوپ پلاریزان المپیوس به دقت مطالعه شده‌اند. پس از این بررسی‌ها، مطالعات ریزدماسنجی توسط سیستم Linkam مدل THMSG600 در دانشگاه دامغان و از راه آزمایش‌های گرمایش (Heating) و سرمایش (Freezing) روی نمونه‌ها انجام شد. برای استاندارد سازی دستگاه از تترالکرید کربن و آب مقطور برای سرمایش و نیترات سدیم، اسید بنزوئیک و کلرید سرب برای گرمایش استفاده شد. بر این اساس دقت اندازه‌گیری‌ها برای دماهای همگن‌شدگی (Th) ± 4 درجه سانتی‌گراد و برای دماهای ذوب شدن (Tm) $\pm 1/5$ درجه سانتی‌گراد است. دامنه دمایی دستگاه -196 تا $+600$ درجه سانتی‌گراد و مجهز به دو کنترل گر گرمایش و سرمایش، مخزن ازت (برای پمپ نیتروژن برای انجماد) و مخزن آب (برای خنک کردن دستگاه در دمای بالا) است. میانوارهای سیال تا حدود ۱۰۰ درجه سانتی‌گراد سرد و پس از انجماد کامل، گرم شده‌اند و برای تعیین درجه شوری از دمای ذوب آخرین قطعه بین (Tm) استفاده شده است. برای تعیین شوری از معادله ۱ استفاده شد (Bodnar and Vityk, 1994). در این معادله ۰ برابر با دمای Tm است.

$$\text{Salinity (Wt. \% NaCl)} = 0.00 + 1.78 \theta - 0.0442 \theta^2 + 0.000557 \theta^3 \quad (1)$$

به منظور بررسی ترکیب ایزوتوبی کربن و اکسیژن در کانسار آهن شمال سمنان، ۱۵ نمونه کلسیت و ۹ نمونه کانی پیریت از کانسار نوکه انتخاب شد. سپس به منظور آماده‌سازی، نمونه‌ها خرد و پس از جداسازی از سنگ‌های همراه با استفاده از روش جدایش دستی (hand picking) و میکروسکوپ دوچشمی، از هر نمونه در حد ۲ گرم با خلوص بالا تهیه و پس از جداسازی توسط هاون آگاتی پودر و برای تجزیه ایزوتوبی به آزمایشگاه ایزوتوب‌های پایدار دانشگاه آریزونای آمریکا فرستاده شد. مقادیر C^{13} و O^{18} کانی کلسیت نسبت به استاندارد PDB و مقادیر S^{34} این نمونه‌ها نسبت به استاندارد تروپلیت کاتیون دیابلو (CDT) اندازه‌گیری شده است و خطای تجزیه در حد $0/0.6\%$ برای C^{13} و O^{18} برای S^{34} در حد $0/0.6\%$ است.

۵- سنگ‌نگاری میانوارهای سیال

یکی از مهم‌ترین مراحل مطالعه میانوارهای سیال، مطالعه سنگ‌نگاری است. میانوارهای سیال در بلورهای کوارتز در اندازه‌های چند میکرونی تا چند صد میکرونی (میانوارهای ثانویه) دیده می‌شوند. از دید شکل ظاهری، میانوارهای سیال در نمونه‌های کوارتز به اشکال نامنظم، گرد، نیمه گرد، کشیده، شکل منفی بلور (Negative crystal) دیده می‌شوند (شکل ۴-الف). در برخی از میانوارهای سیال

سنگ‌های آتشفشاری بخشی از کمریند آتشفشاری انسن البرز است که به صورت گدازه و آذرآواری گسترش یافته‌اند. این سنگ‌ها بیشتر دارای ترکیب بازالتی، آندزیتی و تراکی آندزیتی هستند و با سنگ‌های آذرآواری با ترکیب بازیک، حد بواسطه و اسیدی به صورت متفاوت دیده می‌شوند (شاه‌حسینی و همکاران، ۱۳۸۶). قطعاتی از این سنگ‌های آتشفشاری و آذرآواری (شاه‌حسینی و همکاران، ۱۳۸۶) تودهای نفوذی باعده و اندازه‌های متفاوت به صورت بیگانه‌سنگ در توده گرانوودیوریتی شمال نوکه یافت می‌شوند (شاه‌حسینی و همکاران، ۱۳۸۶). تودهای نفوذی اسیدی نیز با ترکیب آلکالی‌فلدسپار گرانیت، مونزو-گرانیت و گرانوودیوریت به صورت استوک در پیرامون رستای نوکه در شمال خاور سمنان دیده می‌شوند (شاه‌حسینی و همکاران، ۱۳۸۶). گرانوودیوریتی تا آلکالی‌فلدسپار گرانیتی است (شاه‌حسینی و همکاران، ۱۳۸۶). در شمال خاوری سمنان (کوه نوکه)، توده گرانوودیوریتی در سنگ‌های رسوبی و آتشفشاری انسن (سنگ میزبان کانسار) نفوذی کرده و سبب دگرگونی آنها شده است؛ به گونه‌ای که در محل تماس توده با سنگ‌های آتشفشاری-آذرآواری نوعی دگرگونی مجاورتی همراه با تبادل سیال و عناصر کانه‌ساز و سازنده سیلیکات‌های کلسیم‌دار صورت گرفته است (شاه‌حسینی و همکاران، ۱۳۸۶). سنگ‌های آتشفشاری از نوع سدیک تا پتاسیک و متا‌آلومین تا پرآلومین هستند. سنگ‌های نفوذی نیز آلکالن پتاسیک تا سدیک و متا‌آلومین هستند. به طور کلی سنگ‌های نفوذی پیش‌گذگری‌های گرانیتی‌ها نوع راشن می‌باشد (غایثوند و همکاران، ۱۳۸۸). گسل‌های سمنان، در جزین، عطاری و دیکشا در منطقه تأثیر داشته‌اند که از این میان نقش گسل‌های سمنان و در جزین بسیار بیشتر است. گسل‌های فرعی که بیشتر در ارتباط با گسل سمنان هستند، اهمیت زیادی در کنترل کانه‌سازی در منطقه دارند. به احتمال زیاد این گسل‌ها نقش بنیادین در تشکیل و جایگزینی سنگ‌های آذرین و همچنین کانسارسازی آهن در منطقه داشته‌اند (غایثوند و همکاران، ۱۳۸۴).

۳- کانی‌زایی در کانسار آهن نوکه

کانی‌شناسی اهمیت به سزایی در شناخت ارتباط ماده معدنی با سنگ دربرگیرنده آن دارد. کانی‌های حاصل از فرایند متاسوماتیسم در کانسار آهن نوکه را می‌توان به دو دسته تقسیم کرد: ۱) کانی‌های غیر فلزی شامل گارنت، اپیدوت، کلریت، کلسیت و کوارتز؛ ۲) کانی‌های فلزی شامل مگنتیت، هماتیت، پیریت و کالکوپیریت. کانی‌های فرعی در این کانسار شامل بیوتیت، آمفیبول، اسفن و آپاتیت است. مگنتیت کانه‌اصلی کانسار آهن نوکه است و با سه بافت رگه‌ای، تودهایی، پراکنده و برشی در منطقه دیده شد (شکل ۲-الف، ب، پ و ت). کانی‌زایی مگنتیت در مرز تماس توده نفوذی گرانوودیوریتی با سنگ میزبان آندزیت پوروفیری صورت گرفته است (شکل ۲-پ). مگنتیت به همراه هماتیت، پیریت، کوارتز و کلسیت یافت می‌شود. ماده معدنی در منطقه به صورت تودهایی، پراکنده و رگه‌ای دیده می‌شود که حالت رگه‌ای در شکل ۲-ب نشان داده شده است. در برخی بخش‌ها، کلسیت و کوارتز به صورت پرکننده درز و شکاف‌ها و فضاهای خالی دیده می‌شوند که همراهی این دو کانی نسبت به سنگ در برگیرنده در رگه‌های کوارتز-کربنات مربوط به یک فاز تأخیری است. گارنت نوع آندرادیت (شهری و همکاران، ۱۳۸۹) از فراوان‌ترین کانی‌های موجود در این کانسار است که در نمونه دستی به رنگ سرخ-قهوه‌ای تا خرمایی دیده می‌شوند (شکل ۲-ث) و دارای بافت متراکم هستند. اپیدوت در نمونه دستی و به همراه گارنت‌ها به رنگ سبز روشن دیده می‌شود (شکل ۲-ج). وجود اپیدوت نشان‌دهنده تأثیر محلول‌های آهن‌دار است (Shimazaki, 1980). کانی کلسیت به صورت بلورهای درشت و به نسبت شفاف همراه با پهنه گارنت (شکل ۲-چ) و پهنه مگنتیت (شکل ۲-ح) در کانسار آهن نوکه تشکیل شده‌اند. حضور این کانی در پهنه گارنت و مگنتیت به صورت قطع کننده بوده و تشکیل

۶-۲. میانوارهای سیال دوفازی غنی از گاز کانی کوارتز

۳۰ میانوار سیال دوفازی غنی از گاز در اندازه‌های متفاوت مطالعه شد. داده‌های مربوط به دمای همگن شدگی پایانی و شوری میانوارهای سیال دوفازی غنی از گاز در شکل ۷ نشان داده شده است. میانوارهای سیال این گروه، در بازه ۳۵۰ تا ۵۰۰ دارای بیشترین فراوانی دمای همگن شدگی پایانی هستند (شکل ۷-الف). این میانوارهای سیال نسبت به میانوارهای دوفازی غنی از مایع، در دمای بیشتری نیز همگن می‌شوند. کمترین و بیشترین دمای همگن شدگی میانوارهای سیال این گروه، محدوده دمایی را نشان می‌دهد که در آن جوشش رخ می‌دهد. در هنگام جوشش، در اثر کاهش ناگهانی دما و فشار سیال‌های گرمابی، پایداری کمپلکس‌های حامل فلزات کمتر می‌شود و تنفس ناگهانی کانه‌های در یک مقیاس کوچک رخ می‌دهد از گاز متعلق به گستره معادل Wt. \% NaCl ۱۰ تا ۳۰ است (شکل ۷-ب). این میانوارهای سیال به حالت گاز همگن می‌شوند.

مقایسه دمای همگن شدگی و شوری میانوارهای سیال دوفازی غنی از مایع و دوفازی غنی از گاز کوارتز (شکل‌های ۶ و ۷) نشان‌دهنده روند افزایش شوری در میانوارهای سیال غنی از گاز نسبت به غنی از مایع است. دمای همگن شدگی می‌تواند برآورده از دمای سیال در هنگام به دام افتادن در کانی میزان باشد و دامنه دمایی مربوط به فعالیت فازهای گرمابی و دمای تشکیل کانسار را نشان دهد (Cunningham, 1978). دمای همگن شدگی از میانوارهای غنی از مایع به سوی میانوارهای غنی از گاز روند افزایشی نشان می‌دهد. عموماً همیافتنی زمانی و مکانی میانوارهای سیال دوفازی غنی از گاز، دوفازی غنی از سیال و انواع هالیت‌دار در کنار هم نشان‌دهنده فرایند جوشش ثانویه است.

۶-۳. میانوارهای سیال دوفازی غنی از مایع کانی کلسیت

۱۰۷ میانوار سیال دوفازی غنی از مایع در اندازه‌های متفاوت در کلسیت‌های پهنه گارنت (نوع a) و کلسیت‌های پهنه مگنتیت (نوع b) مطالعه شد. دمای همگن شدگی میانوارهای سیال این دو نوع کلسیت تفاوت زیادی با هم ندارند و در بازه ۷۵ تا ۱۲۵ درجه سانتی گراد قرار می‌گیرند (شکل ۸-الف)؛ اما میزان شوری میانوارهای سیال در این دو نوع کلسیت با هم متفاوت است. به گونه‌ای که شوری میانوارهای سیال دوفازی غنی از مایع در کلسیت‌های نوع ۱۵ a تا ۲۵ درصد وزنی معادل طعام هستند؛ در حالی که شوری این میانوارهای سیال در کلسیت‌های نوع b کمتر بوده و از ۱۰ تا ۲۰ درصد وزنی معادل نمک طعام در تغییر است (شکل ۸-ب). مقایسه شوری میانوارهای سیال دوفازی غنی از مایع در کلسیت‌های نوع a با کلسیت‌های نوع b و شکل ۸-ب گویای روند کاهش شوری در میانوارهای سیال کلسیت‌های نوع a نسبت به میانوارهای سیال دوفازی غنی از مایع در کلسیت‌های نوع b است؛ که نشان می‌دهند محلول‌های گرمابی با آب جوی آمیختگی داشته‌اند که سبب افت شوری بدون کاهش چشمگیر دما شده است (Wilkinson, 2001).

۷- تحول محلول گرمابی تشکیل دهنده کانسار نوکه

جوشش و آمیختگی سیال‌های گرمابی، دو عامل مهمی هستند که معمولاً شرایط لازم برای تنشست کانسارها را فراهم می‌آورند و سبب فوق اثبات شدن سریع سیال گرمابی در محدوده سنگ‌ها و تنشست کانسار می‌شوند (Wilkinson, 2001). با توجه به شکل ۹-الف، روندهای فیزیکی اصلی برای نهشت کانسار آهن نوکه، نشانه جوشش و آمیختگی سیال‌های داغ و شور با سیال‌های سردتر و کم شورتر و همچنین آمیخته شدن ایزوترمال سیال با سیالی است که شوری متفاوتی دارد. به نظر می‌رسد که سیالی با شوری پایین تر به طور متناسب و در طی دوره‌های کوتاه‌مدت به درون سامانه تزریق و با سیال با شوری بالا مخلوط شده است. به باور Hedenquist and Henley (1985) درجه سانتی گراد بیشترین فراوانی شوری مربوط به دامنه (High density) (Low density) پدیده جوشش در سیستم‌های گرمابی هستند که این امر به روشنی در کلسیت‌های

پدیده باریک‌شده‌گی دیده می‌شود. از دید ژنتیکی در این بلورهای میانوارهای اولیه (P)، ثانویه (S) و شبه ثانویه (PS) تشخیص داده شدند (شکل ۶-ب). پراکندگی این میانوارها در سطح بلورهای کوارتز از نظم خاصی پیروی نمی‌کند، دارای امتداد خاصی نیستند و در جهت‌های مختلف در کانی کوارتز پراکنده هستند. این میانوارها در همه نمونه‌ها با اندازه‌های ۴۰ تا چند صد میکرومتری دارای دوفاز ترکیبی مایع و گاز هستند و فازهای جامد در این میانوارها به تعداد خیلی کمی دیده شد. میانوارهای ثانویه که بیشتر در ترکهای شکستگی‌های کوچک درون بلوری گسترش یافته‌اند، به صورت تکرده‌یافی و چندردهی در کنار هم مشخص هستند. میانوارهای شبه ثانویه نیز به صورت رده‌هایی در راستای بلوری و با فاصله‌ای معین از ترکهای مشخص می‌شوند. میانوارهای سیال سه‌فازی نیز در مقاطع کوارتز دیده شد؛ ولی به علت وجود شمار خیلی کمی از این میانوارهای سه‌فازی، مطالعات ریزدماسنجی روی این میانوارها انجام نپذیرفت.

بر پایه تعداد فاز، ۷ نوع میانوار سیال در کانی کوارتز تشخیص داده شد (شکل ۶)؛ میانوارهای تک‌فازی مایع (L)، میانوارهای دوفازی غنی از مایع (L+V)، میانوارهای دوفازی غنی از گاز (V+L)، میانوارهای تک‌فازی گاز (V)، میانوارهای سه‌فازی مایع- گاز- هالیت (L+V+S)، میانوارهای دوفازی مایع- هالیت (L+S) و میانوارهای سه‌فازی مایع- گاز- کیدر (L+V+O).

شناسایی میانوارهای سیال اولیه در کلسیت در بیشتر موارد مشکل است؛ به طوری که (Larson et al., 1973) اظهار داشتند ممکن است در اثر گرمای میانوارهای سیال موجود در کانی‌های رخ پذیر مانند کلسیت منسق شوند و از این نتایج نادرست به دست دهنند. بازه اندازه میانوارهای اولیه در کانی کلسیت از چند میکرون تا ۱۰ تا ۲۰ میکرون دیده شده، اما بازه اندازه میانوارهای ثانویه گستردۀ است که حتی میانوارهای در اندازه‌های ۴۰ تا ۵۰ میکرون نیز دیده می‌شود. در شمار کمی از میانوارهای سیال کانی کلسیت، بلور نمک یا فاز جامد دیده شد. انواع اشکالی که در این میانوارها دیده شد شامل اشکال نیمه گرد، میله‌ای، مریعی و بی‌شکل بودند که فاز چیزه در این میانوارها، دوفازی غنی از مایع است و حباب گاز کوچکی دارند (شکل ۵-الف). بر پایه تعداد فاز، پنج نوع میانوار سیال در کانی کلسیت تشخیص داده شد (شکل ۵) که شامل میانوارهای تک‌فازی مایع (شکل ۵-ب)، میانوارهای تک‌فازی گاز (شکل ۵-ت)، میانوارهای سه‌فازی مایع- گاز- هالیت (شکل ۵-ث) و میانوارهای دوفازی غنی از گاز (شکل ۵-ج) هستند.

۶- ریزدماسنجی میانوارهای سیال

روش ریزدماسنجی میانوارهای سیال بر پایه مشاهده دقیق و تشخیص تغییرات فازی درون میانوارهای سیال هنگام گرمایش و سرمایش است. با اندازه گیری دقیق دمایی که این تغییرات در آن رخ می‌دهد، می‌توان به وضعیت سیال‌ها در زمان به دام افتادن پی برد (Shepherd et al., 1985). دماسنجدی روی میانوارهای سیال دو کانی کلسیت و کوارتز انجام شده است. انجام روش سرمایش، بهترین و متدبول ترین روش برای اندازه گیری شوری میانوارهای سیال است، چون کاهش نقطه انجام آب خالص به طور مستقیم متناسب با مقدار نمک موجود در محلول است (Shepherd et al., 1985).

۶-۱. میانوارهای سیال دوفازی غنی از مایع کانی کوارتز

۶۰ میانوار سیال دوفازی غنی از مایع در اندازه‌های مختلف از کانی کوارتز مورد مطالعه قرار گرفته است. داده‌های مربوط به دمای همگن شدگی پایانی و شوری میانوارهای سیال دوفازی غنی از مایع در شکل ۶ نشان داده شده است. در نمودار پراکندگی کمترین دمای تشکیل (شکل ۶-الف)، برای جداسازی نسل‌های سیال‌ها از دید دمای همگن شدگی (Th) در دو محدوده a و b قرار می‌گیرد. برای جمعیت‌های با دمای کمتر (a) بیشترین دامنه مربوط به بازه ۱۰۰ تا ۲۰۰ درجه سانتی گراد است و برای جمعیت‌های با دمای بیشتر (b) دامنه ۳۵۰ تا ۴۰۰ درجه سانتی گراد بیشترین فراوانی را دارد. بیشترین فراوانی شوری مربوط به دامنه ۱۰۰ تا ۲۰۰ Wt. \% NaCl است (شکل ۶-ب).

نیاز این کانسار از کربن با منشأ ماقمایی منشأ گرفته است (شکل ۱۰-ت). با توجه به اینکه میانگین دمای تشکیل کلسیت‌ها در کانسار نوکه توسط مطالعه میانبارهای سیال تعیین شده است (100°C درجه سانتی‌گراد) برای به دست آوردن $\delta^{18}\text{O}_{\text{Water}} = 2.78(10^6/\text{T}^2) - 2.89$ محلول گرمایی از فرمول تفکیک ایزوتوپی $\delta^{18}\text{O}_{\text{Water}} = 2.78(10^6/\text{T}^2) - 2.89$ Friedman and O' Neil (1977) استفاده شده است (جدول ۲). مقادیر $\delta^{18}\text{O}_{\text{Water}}$ موجود در محلول گرمایی مؤثر در تشکیل کانسار آهن نوکه از $2/40\text{ ‰}$ تا $7/03\text{ ‰}$ نسبت به استاندارد SMOW در تعییر هستند که این مقادیر با مقادیر ایزوتوپ اکسیژن ارائه شده برای آب‌های ماقمایی اولیه ($\delta^{18}\text{OH}_2\text{O} = +5.5\text{ ‰}$ to $+9.0\text{ ‰}$; Taylor, 1974) متفاوت و پایین‌تر از مقادیر معمول آب‌های ماقمایی است. از آنجا که آب ماقمایی احتمالاً به صورت سالم و دست نخوردده در پوسته زمین موجود نیست، می‌توان گفت که ترکیب ایزوتوپی آن نه تنها در اثر تبادل با سنگ‌های پوسته‌ای در یک طیف دمایی گسترده تغییر می‌کند، بلکه ممکن است با آب‌هایی با منشأ‌های مختلف نیز مخلوط شود (Faure and Mensing, 2005). بدین ترتیب می‌توان مقادیر بالای $\delta^{18}\text{O}$ کلسیت در این کانسار را به مخلوط شدن سیال‌های گرمایی تأثیری منشأ گرفته از توده‌های نفوذی در حال سرد شدن منطقه نوکه با سیال‌های در حال چرخش در توالی‌های سنگی فقیر از O^{18} و برقراری تبادل ایزوتوپی با آنها از O^{18} نسبت داد.

۸-۲. ایزوتوپ گوگرد

مهم ترین منابع گوگرد در کانسارها شامل منابع ژرفایی، سنگ‌های قاره‌ای محلی، آب دریا یا تبخیری‌های دریایی هستند (Sharp, 2006). همچنین منبع مجزا از دید ایزوتوپی برای گوگرد وجود دارد که عبارتند از: ۱) گوگرد مشق شده از گوشته با مقادیر $\delta^{34}\text{S}$ حدود صفر در هزار؛ ۲) گوگرد آب دریا با مقادیر $\delta^{34}\text{S} = 20\text{ ‰}$ ؛ ۳) گوگرد رسوی خیلی احیا شده با مقادیر گسترده خیلی منفی از $\delta^{34}\text{S}$ (Hoefs, 2009). تغییر در ترکیب ایزوتوپی گوگرد ناشی از دو فرایند است: ۱) کاهیدگی یون‌های سولفات به سولفید هیدروژن توسط باکتری‌های بی‌هوایی که این امر موجب غنی شدن سولفید هیدروژن از S^{34} می‌شود (کاهیدگی باکتری‌ای سولفات‌های ۲) واکنش‌های تبادل ایزوتوپی مختلف میان یون‌ها، مولکول‌ها و جامدات گوگرددار که توسط آنها S^{34} در ترکیبات دارای بالاترین حالت اکسایش گوگرد یا بیشترین نیروی پیوندی متمرکز می‌شود (کاهیدگی ترموشیمیایی سولفات) (Hoefs, 2009). دو عامل مهم که باید در بررسی تغییرات دامنه مقادیر $\delta^{34}\text{S}$ در نظر گرفته شوند؛ یکی تأثیر مقادیر ایزوتوپی گوگرد منبع و دیگری تأثیر فرایندهای ایجاد کننده تفکیک ایزوتوپی هستند.

نتایج تجزیه مقادیر ایزوتوپ گوگرد روی CO_2 و یون‌های کربنات در کانسار آهن نوکه در جدول ۳ ارائه شده است. مطالعات انجام شده در این کانسار نشان می‌دهد که دامنه تغییرات ایزوتوپی گوگرد در این کانسار محدود بوده و کمترین میزان $\delta^{34}\text{S}$ برای این نمونه $2/9\text{ ‰}$ و بیشترین مقدار $4/7\text{ ‰}$ بر حسب استاندارد CDT است (جدول ۳). مقادیر $\delta^{34}\text{S}$ سولفیدهای مشق شده از گوشته به ترتیب از -7 ‰ تا $+7\text{ ‰}$ (Ohmoto, 1986) و -3 ‰ تا $+3\text{ ‰}$ (Hoefs, 2009) متغیر است.

مقدار $\delta^{34}\text{S}$ کانی پیریت در کانسار آهن نوکه با محدوده مقادیر ایزوتوپ گوگرد ذکر شده برای سولفیدهای مشق شده از گوگرد روی CO_2 (Ohmoto, 1986) همواران دارد و نزدیک به مقادیر ذکر شده توسط (Hoefs, 2009) است. بنابراین می‌توان منشأ گوگرد کانسار آهن نوکه را به خاستگاه ماقمایی نسبت داد (شکل ۱۱).

۹- نتیجه‌گیری

کانی زایی در کانسار آهن نوکه در اثر تزریق توده‌های نفوذی پیشر گرانودیوریتی درون سنگ‌های آتشفسانی-آذرآواری با سن اثوسن و به صورت توده‌ای، رگه‌ای، برشی و افشنان تشکیل شده است. کانی‌شناسی چیره این کانسار شامل مگنتیت، کانی‌های سولفیدی پیریت و کالکوپیریت، گارنت، اپیدوت، کلسیت و کوارتز است.

نوع a و کلسیت‌های نوع b دیده می‌شود (شکل ۹-ب). حضور میانبار سیال تکفازی گاز و همچنین میانبارهای سیال با شوری‌های متفاوت، از شواهد رخداد جوشش در سیال‌های گرمایی است (Drummond and Ohmoto, 1985). چگالی میانبارهای سیال غنی از گاز در کانی کوارتز دامنه محدودی را در بر می‌گیرد که از $0/6$ تا $0/9$ گرم بر سانتی‌متر مکعب را پوشش می‌دهد. در حالی که چگالی میانبارهای سیال دوفازی غنی از مایع در کانی کوارتز افزایش پیدا کرده و از $0/6$ تا $1/1$ گرم بر سانتی‌متر مکعب کلسیت‌های نوع a افزایش پیدا کرده است (شکل ۹-ت). چگالی میانبارهای سیال دوفازی غنی از مایع در محدوده $0/9$ تا $1/1$ گرم بر سانتی‌متر مکعب را نشان می‌دهد؛ در حالی که چگالی محلول گرمایی در میانبارهای سیال دوفازی جای دارد (شکل ۹-پ) که به دلیل کم بودن شوری این میانبارهای سیال نسبت به میانبارهای سیال موجود در کلسیت‌های نوع a است.

۸- ایزوتوپ‌های پایدار

۸-۱. ایزوتوپ کربن و اکسیژن

نتایج تجزیه ایزوتوپ‌های کربن و اکسیژن کلسیت‌های پهنه گارنت و پهنه مگنتیت در کانسار آهن نوکه در جدول ۱ ارائه شده است. مقادیر $\delta^{13}\text{C}$ کانی کلسیت در کانسار آهن نوکه از $-1/9\text{ ‰}$ تا $+0/1\text{ ‰}$ نسبت به استاندارد PDB متغیر و میانگین داده‌های به دست آمده از این تجزیه $-1/0/33\text{ ‰}$ است. همچنین از این نمونه‌ها مقادیر $\delta^{18}\text{O}$ نسبت به استاندارد PDB ارزیابی شده است که این مقادیر هم از $-19/4\text{ ‰}$ تا $-14/9\text{ ‰}$ متغیر و میانگین به دست آمده، $-17/8\text{ ‰}$ است (جدول ۱). البته برای استفاده از داده‌های $\delta^{18}\text{O}$ نسبت به استاندارد SMOW با استفاده از معادله $\delta^{18}\text{O}_{\text{VSMOW}} = 1.03091 \delta^{18}\text{O}_{\text{PDB}} + 30.01$ ارائه شده توسط Rollinson (1993) به این استاندارد تبدیل شدند که این اعداد دامنه مثبتی را نشان می‌دهند و از $+10/91\text{ ‰}$ تا $+15/54\text{ ‰}$ و با میانگین $+12/54\text{ ‰}$ در تغییر هستند (جدول ۲).

شکل ۱۰-الف نشان‌دهنده محدوده مقادیر ایزوتوپی کربن و اکسیژن کربنات‌های با منشأ ماقمایی و همچنین فرایندهای تأثیر گذار CO_2 و یون‌های کربنات در کانسار آهن نوکه است. مقادیر ایزوتوپی $\delta^{13}\text{C}$ و $\delta^{18}\text{O}$ در کلسیت‌های کانسار آهن نوکه گویای تأثیرپذیری از شرایطی مانند آلودگی به وسیله رسوبات و یا دگرسانی دما بالا هستند که با توجه به دمای پایین تشکیل کلسیت‌ها در این کانسار 125 ‰ تا 75 ‰ سانتی‌گراد، احتمالاً عامل اصلی مؤثر بر مقادیر ایزوتوپی این کلسیت‌ها آلودگی به وسیله رسوبات باشد. بر پایه مقادیر ایزوتوپی کربن و اکسیژن کلسیت‌های کانسار آهن نوکه می‌توان نتیجه گرفت که این کلسیت‌ها در نتیجه واکنش محلول‌های گرمایی با سنگ میزان مناسب تشکیل شده‌اند (شکل ۱۰-ب).

در شکل ۱۰-پ، مقادیر ایزوتوپی کربن و اکسیژن کلسیت‌های کانسار آهن نوکه با مقادیر ایزوتوپی کلسیت‌ها و دولومیت‌های رسوبی و همچنین مقادیر ایزوتوپی کربن و اکسیژن کلسیت‌های موجود در کانسارهای اسکارن نشان می‌دهد که مقادیر ایزوتوپی کانسار آهن نوکه تقریباً نزدیک به مقادیر این ایزوتوپ‌ها در کانسارهای اسکارن است.

مقادیر $\delta^{13}\text{C}$ در کربنات‌ها با منشأ ماقمایی و گرمایی در محدوده -3 ‰ تا -8 ‰ نسبت به استاندارد PDB هستند (Ohmoto, 1972). مقادیر میانگین $\delta^{13}\text{C}$ ترکیبات کربن دار در فرایندهای زیستی نیز حدود -25 ‰ است (Hoefs, 2009) و مقدار $\delta^{13}\text{C}$ در آب دریاهای عهد حاضر صفر در هزار در نظر گرفته شده است (Ohmoto, 1972). مقادیر ایزوتوپی $\delta^{13}\text{C}$ کانسار آهن نوکه با مقادیر ایزوتوپ کربن کربنات‌های حاصل از فرایندهای زیستی هیچگونه همخوانی ندارد و از محدوده کربنات‌های دریایی نیز فاصله دارد (شکل ۱۰-پ). مقایسه مقادیر ایزوتوپی کربن و اکسیژن کانی کلسیت کانسار آهن نوکه با نمودار تغییرات $\delta^{13}\text{C}$ گویای این است که بخش قابل توجهی از کربن مورد

-۲/۴۰٪ در محلول گرمابی مؤثر در تشکیل کانسار آهن نو که $\delta^{18}\text{O}_{\text{Water}}$ تا ۷/۰۳٪ نسبت به استاندارد SMOW در تغییر هستند که این مقادیر با مقادیر ایزوتوپ اکسیژن ارائه شده برای آب‌های ماقمایی اولیه متفاوت است و پایین تر از مقادیر معمول آب‌های ماقمایی است که احتمالاً به خاطر مخلوط شدن سیال‌های گرمابی تأخیری منشأ گرفته از توده‌های نفوذی در حال سرد شدن منطقه نوکه با سیال‌های در حال چرخش در توالی‌های سنگی فقیر از ^{18}O و برقراری تبادل ایزوتوپی با آنهاست.

دامنه تغییرات $\delta^{34}\text{S}$ پیریت محدود است و در محدوده ۳/۹٪ تا ۵/۴٪ نسبت به استاندارد CDT واقع شده و با محدوده مقادیر ایزوتوپ گوگرد ذکر شده برای سولفیدهای مشق شده از گوشته همخوانی دارد که می‌توان منشأ گوگرد کانسار آهن نوکه را به خاستگاه ماقمایی نسبت داد.

داده‌های میانبارهای سیال و نتایج ایزوتوپ‌های پایدار کربن، اکسیژن و گوگرد گویای این است که سیال‌های کانسارساز به وسیله آمیختگی شوراب‌های ماقمایی با آب جوی گسترش یافته‌اند و احتمالاً زنگ کانسار آهن نوکه مشابه کانسارهای نوع اسکارن است.

سپاسگزاری

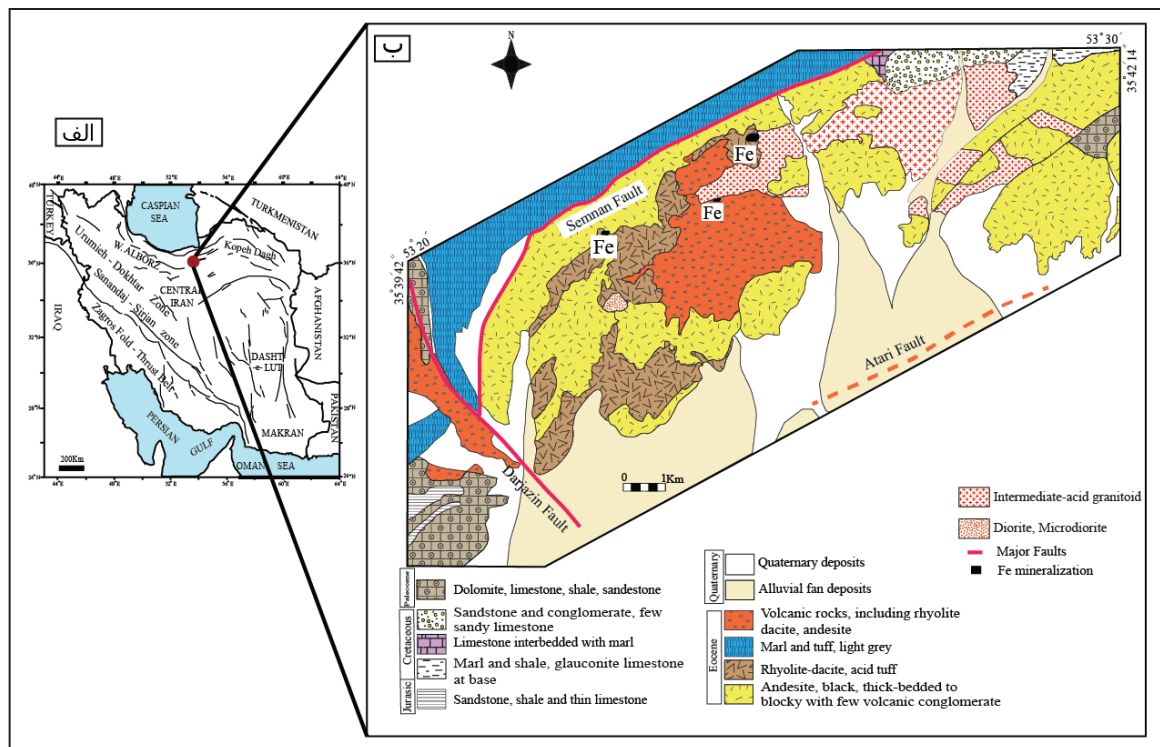
از کارشناسان معدن نوکه بهویژه آقای مهندس حسن پور به خاطر کمک‌هایشان در مراحل نمونه برداری و همچنین از داوران محترم فصلنامه علوم زمین که با پیشنهادات سازنده سبب غنای بیشتر این مقاله شدند، سپاسگزاری می‌شود.

سنگ‌نگاری میانبارهای سیال در کانی کوارتز به دلیل حضور میانبارهای سیال تکفازی گازی به همراه میانبارهای سیال چندفازی، متفاوت بودن نسبت فاز گاز به فاز مایع در میانبارهای سیال و حضور میانبارهای سیال غنی از فاز گاز همگی شواهدی از رخداد پدیده چوشش ثانویه در کانسار آهن نوکه هستند.

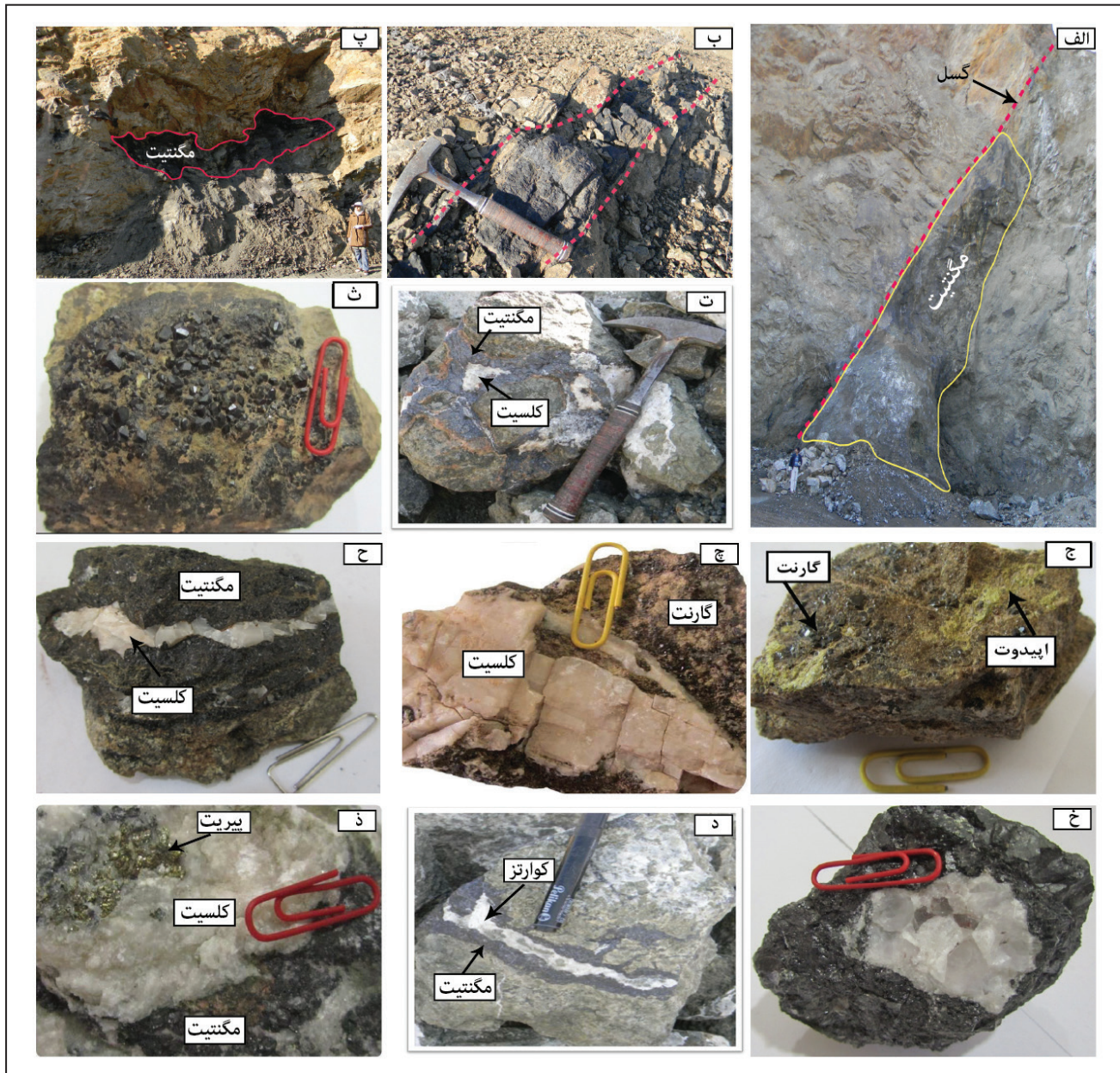
میانبارهای سیال دوفازی غنی از گاز در کانی کوارتز (دمای همگن شدگی پایانی ۳۵۰ تا ۵۰۰ درجه سانتی گراد و شوری معادل ۱۰ Wt. % NaCl) نسبت به میانبارهای سیال د فازی غنی از مایع در این کانی (محدوده دمایی ۱۰۰ تا ۲۰۰ درجه سانتی گراد و شوری معادل ۱۰ Wt. % NaCl) در دمای بیشتری همگن می‌شوند که به علت به دام افتادن نامتجانس مایع و گاز در طی فرایند چوشش ثانویه است.

دمای همگن شدگی میانبارهای سیال دوفازی غنی از مایع در کلسیت‌های پهنه گارنت (نوع a) و کلسیت‌های پهنه مگنتیت (نوع b) شامل ۷۵ تا ۱۲۵ درجه سانتی گراد و شوری میانبارهای سیال دوفازی غنی از مایع در کلسیت‌های پهنه گارنت بیشتر از شوری میانبارهای سیال دوفازی غنی از مایع در کلسیت‌های پهنه گارنت است که نشان می‌دهد که سیال‌های داغ و شور با سیال‌های سردتر و کم‌شورتر است و همچنین ایزوترمال سیال با سیالی که شوری متفاوتی دارد؛ آمیخته شده است.

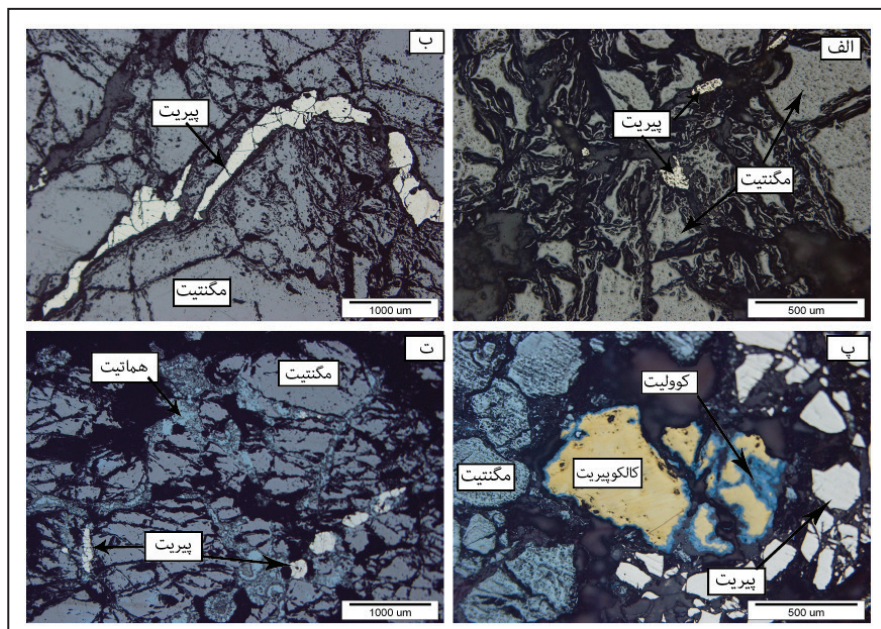
مقادیر $\delta^{13}\text{C}$ و $\delta^{18}\text{O}$ در کلسیت‌های کانسار آهن نوکه گویای تأثیرپذیری از شرایطی مانند آلدگی به وسیله رسوبات هستند. مقادیر ایزوتوپی کربن و اکسیژن کانی کلسیت کانسار آهن نوکه با مقادیر ایزوتوپی کانسارهای اسکارن همخوانی دارد و به مقادیر $\delta^{13}\text{C}$ در کربنات‌ها با منشأ ماقمایی و گرمابی نزدیک هستند.



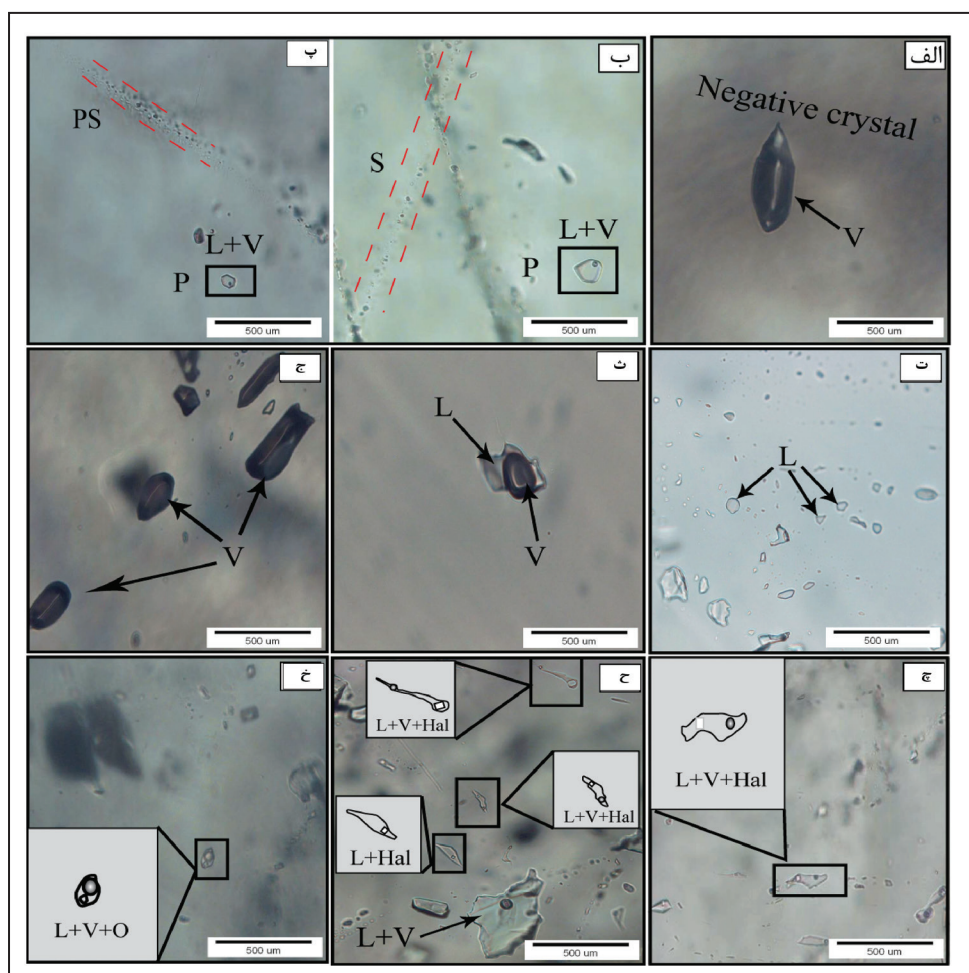
شکل ۱-الف) موقعیت منطقه مورد مطالعه در بخش جنوبی زون البرز مرکزی؛ ب) نقشه زمین‌شناسی کانسار آهن نوکه (با تغییرات از غیاثوند و همکاران، ۱۳۸۴).



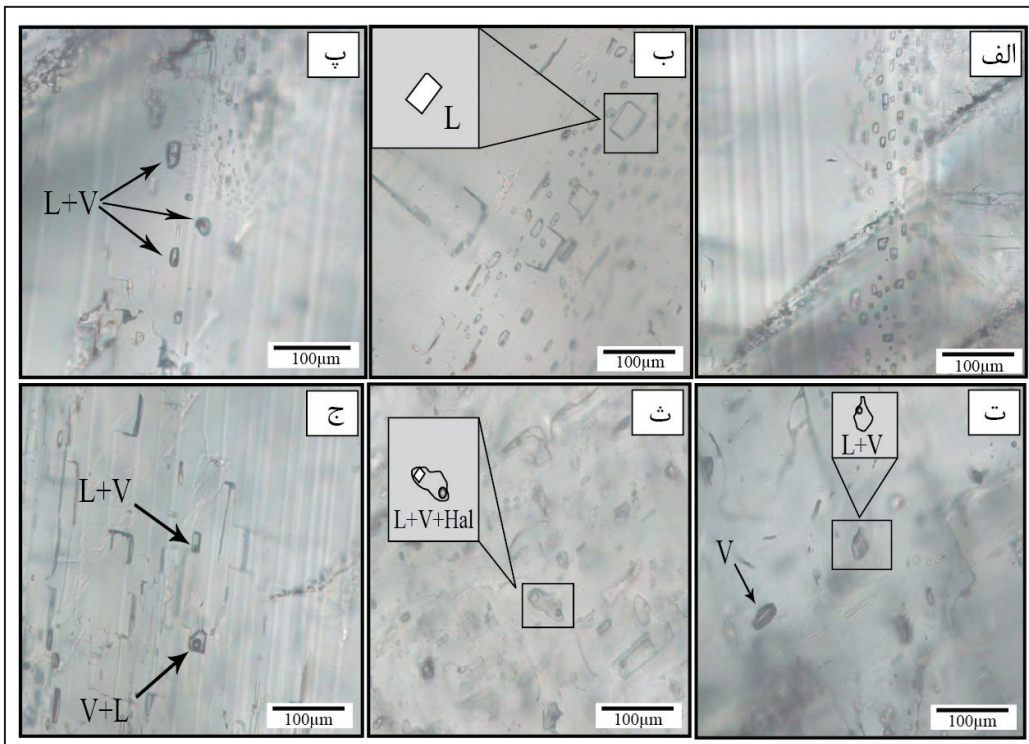
شکل ۲-الف) کانی زایی مگنتیت در راستای گسل در کانسار آهن نوکه؛ ب) کانی زایی مگنتیت به صورت عدسی شکل در مرز تماس توode نفوذی با سنگ میزان آتشفسانی؛ پ) کانی زایی مگنتیت به صورت عدسی شکل در مرز تماس توode نفوذی با سنگ میزان آتشفسانی؛ ت) کانی زایی مگنتیت به همراه کلسیت به صورت برشی؛ ث) بلورهای شکل دار گارنت در نمونه دستی؛ ج) هماهی گارنت با کانی اپیدوت در پهنه اسکارنی کانسار آهن نوکه؛ چ) قطع شدگی پهنه گارنت توسط بلورهای کلسیت (کلسیت‌های پهنه گارنت)؛ ح) قطع شدگی کانی زایی مگنتیت توسط کلسیت‌های گرمابی (کلسیت‌های پهنه مگنتیت)؛ خ) تشکیل بلورهای شکل دار کوارتز در زمینه مگنتیت؛ د) تشکیل مگنتیت و کوارتز در یک فضای خالی که نشان‌دهنده تشکیل کوارتز پس از نهشت مگنتیت است؛ ذ) هماهی پیریت با کلسیت در پهنه مگنتیت.



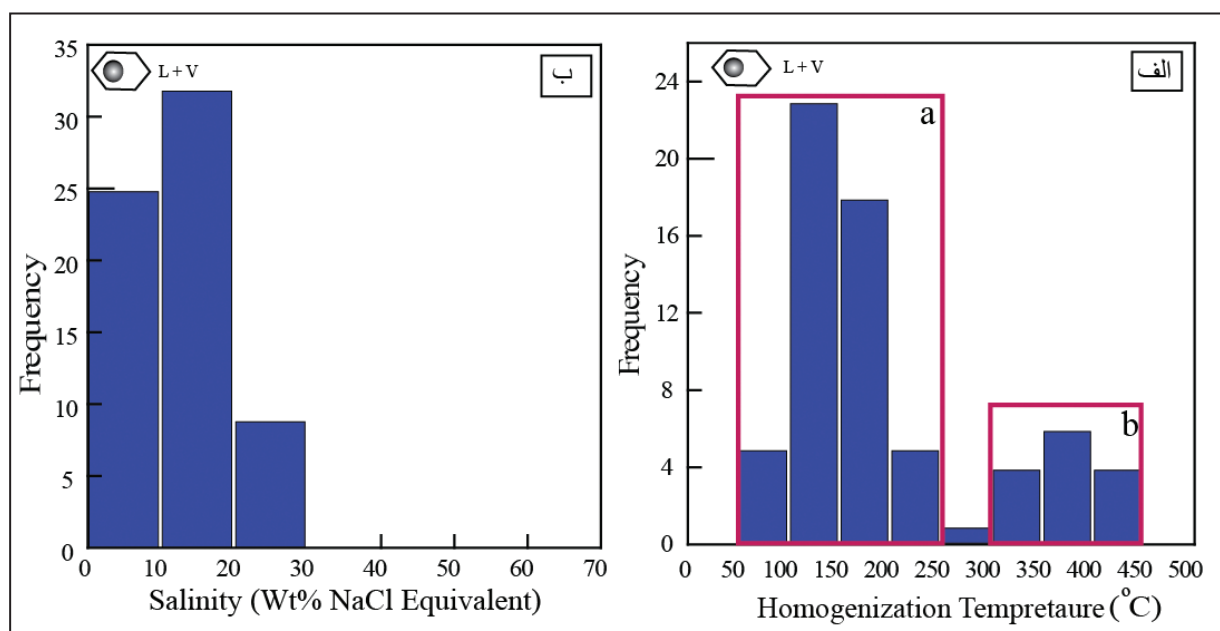
شکل ۳-الف) حضور کانی پیریت به صورت افسان در زمینه مگنتیتی در کانسار آهن نوکه؛ ب) تشکیل پیریت به صورت رگچه‌ای که کانی مگنتیت را قطع کرده است؛ پ) هماهی مگنتیت، پیریت و کالکوپیریت و همچنین تشکیل کوولیت ثانویه در پیرامون کالکوپیریت؛ ت) تشکیل هماتیت ثانویه به صورت جانشینی در پیرامون مگنتیت.



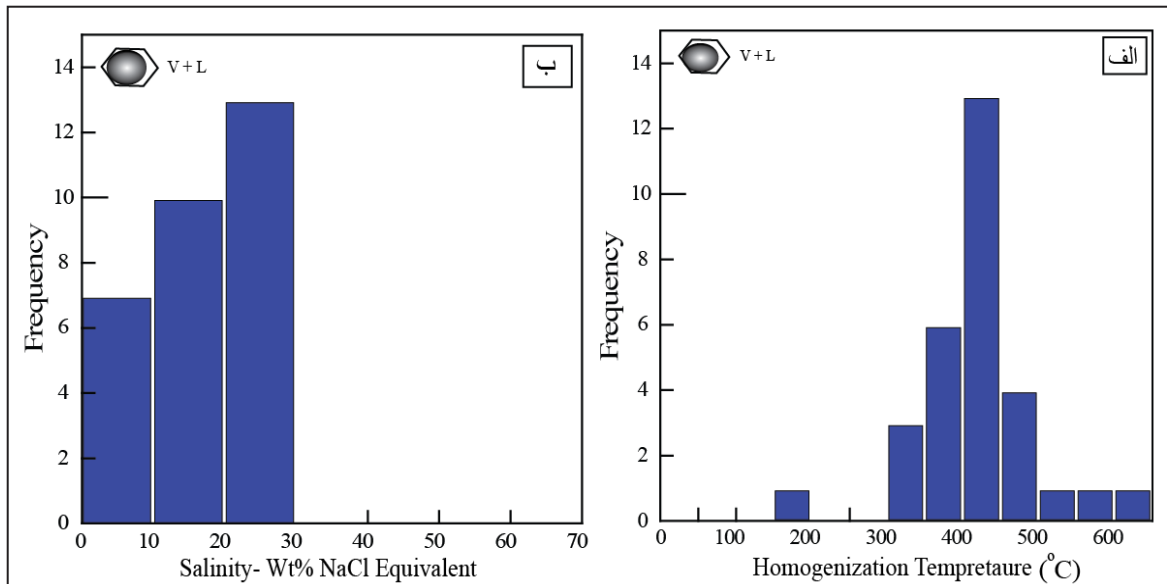
شکل ۴- انواع میانبارهای سیال دیده شده در کانی کوارتز در کانسار آهن نوکه؛ الف) میانبار سیال تک‌فازی گاز با شکل منفی بلور؛ ب) میانبارهای سیال اولیه (P)، ثانویه (S)، و شبه ثانویه (PS)؛ ب) میانبارهای سیال شبه ثانویه؛ ت) میانبار سیال تک‌فازی مایع؛ ث) میانبار سیال دوفازی غنی از گاز؛ چ) میانبار سیال تک‌فازی گاز؛ چ) میانبار سیال دارای هالیت؛ ح) میانبار سیال دوفازی شور غنی از مایع (L+Hal)؛ خ) میانبار سیال غنی از مایع دارای کانی کدر. اختصارات: L: فاز مایع. V: بلور گاز. Hal: هالیت. O: کانی کدر.



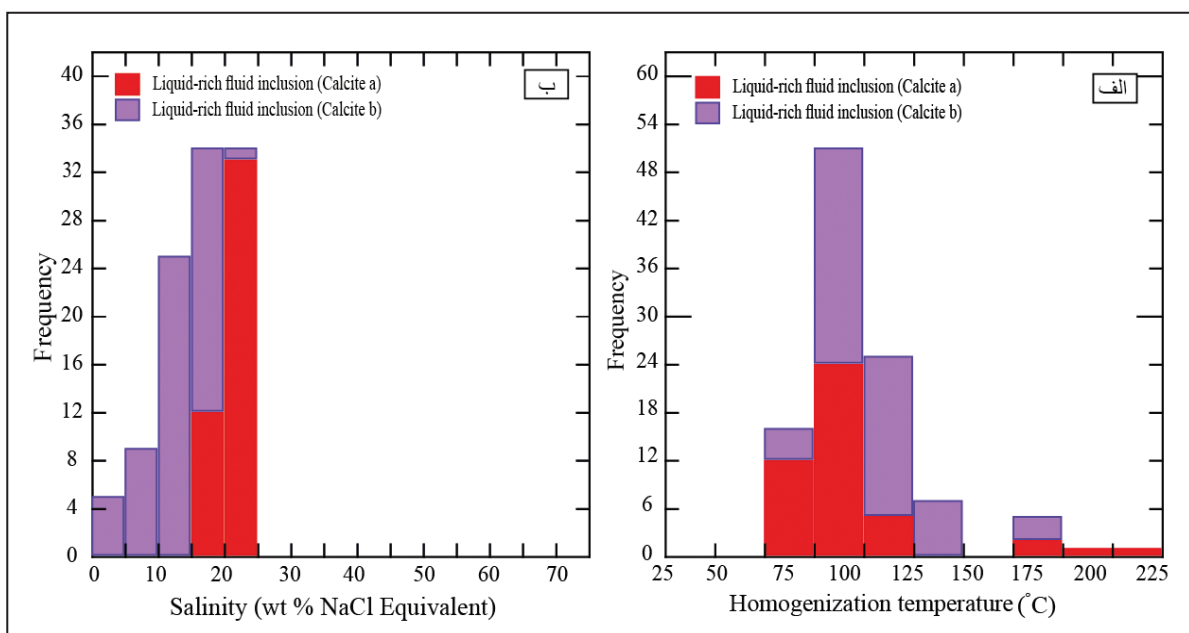
شکل ۵- انواع میانبارهای سیال دیده شده در کانسار آهن نوکه. (الف) میانبارهای سیال دیده شده در کانی کلسیت با اندازه‌های متفاوت؛ (ب) میانبار سیال تک‌فازی مایع؛ (پ) میانبار سیال دوفازی غنی از مایع؛ (ت) میانبار سیال تک‌فازی گاز؛ (ث) میانبار سیال دارای هالیت؛ (ج) میانبار سیال دوفازی غنی از گاز.



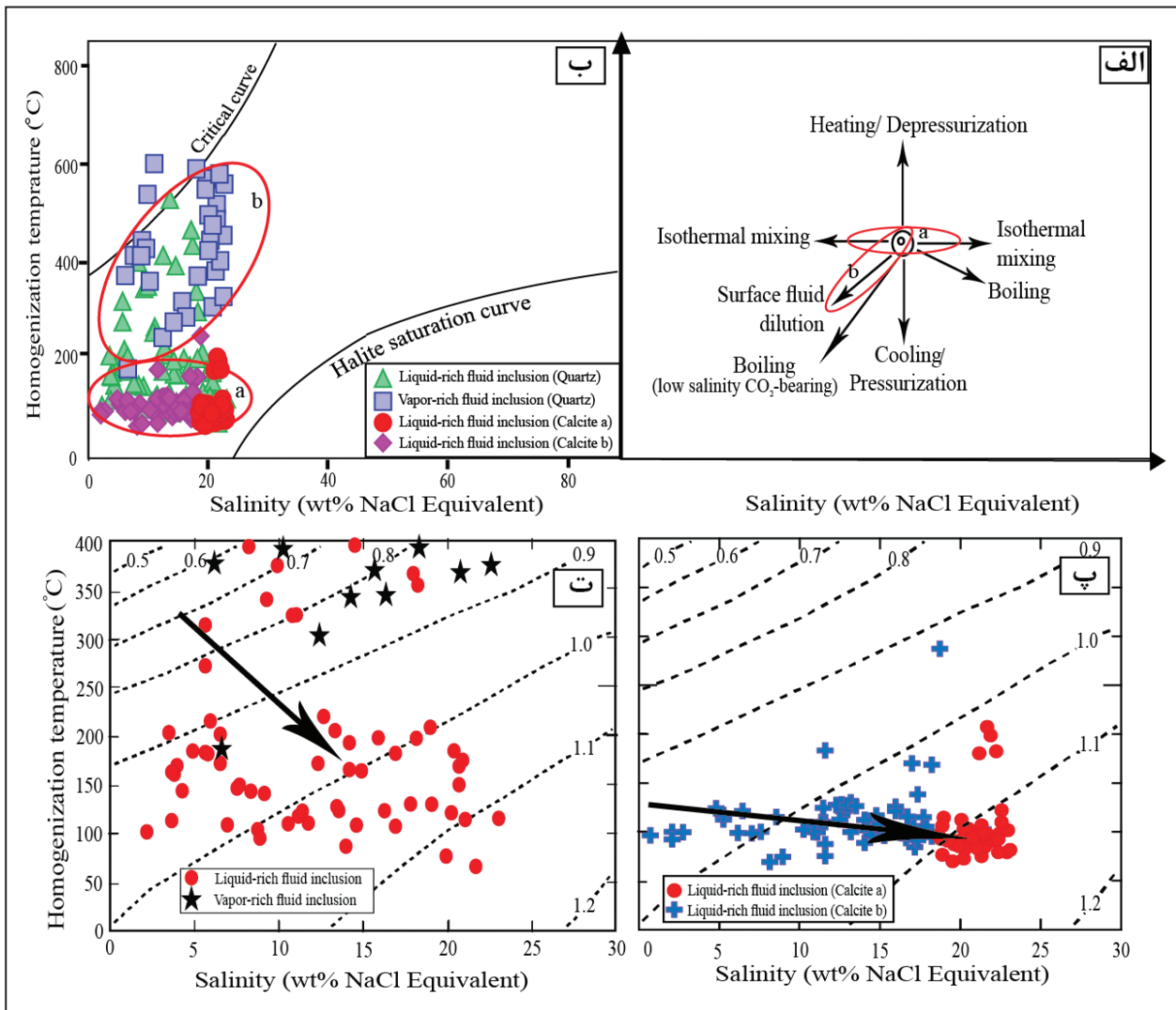
شکل ۶- (الف) دمای همگن‌شدگی؛ (ب) شوری میانبارهای سیال غنی از مایع در کانسار آهن نوکه.



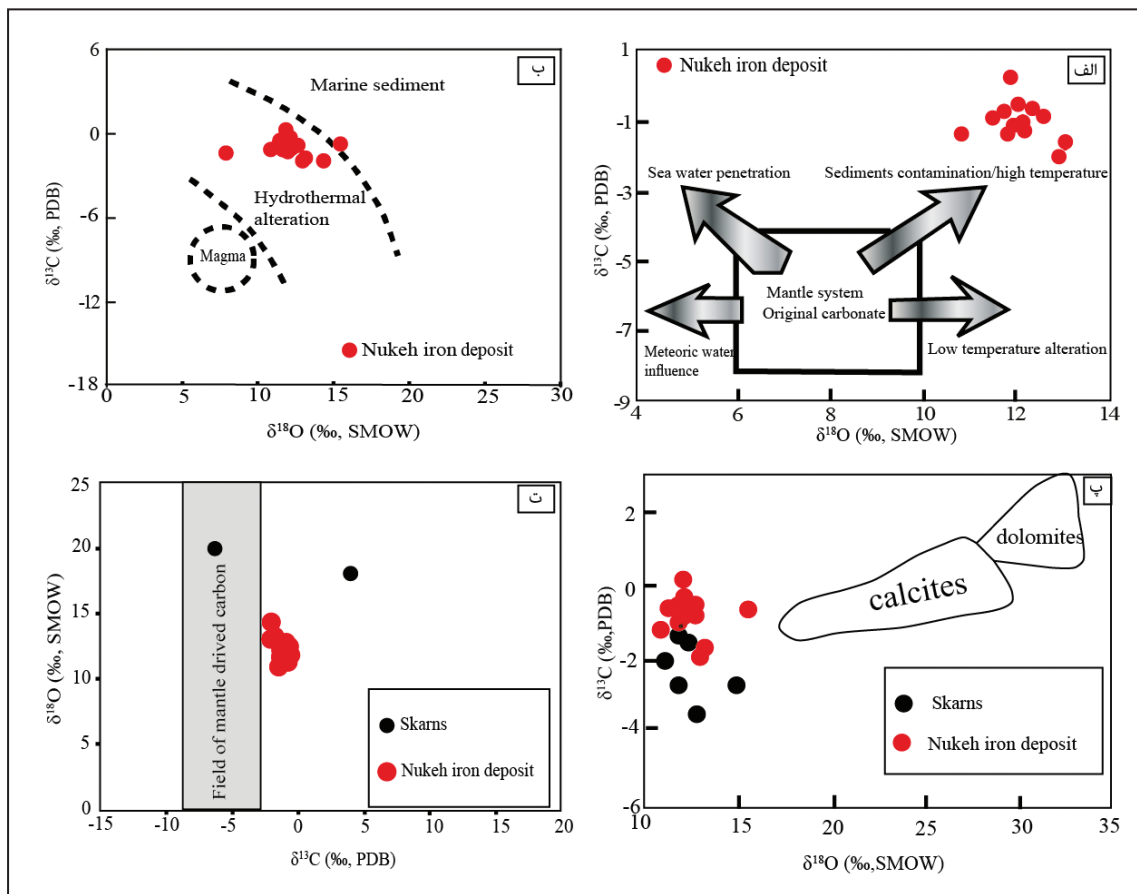
شکل ۷-الف) نمودار دمای همگن شدگی؛ ب) شوری میانبارهای سیال غنی از گاز در کوارتز در کاسار آهن نوکه.



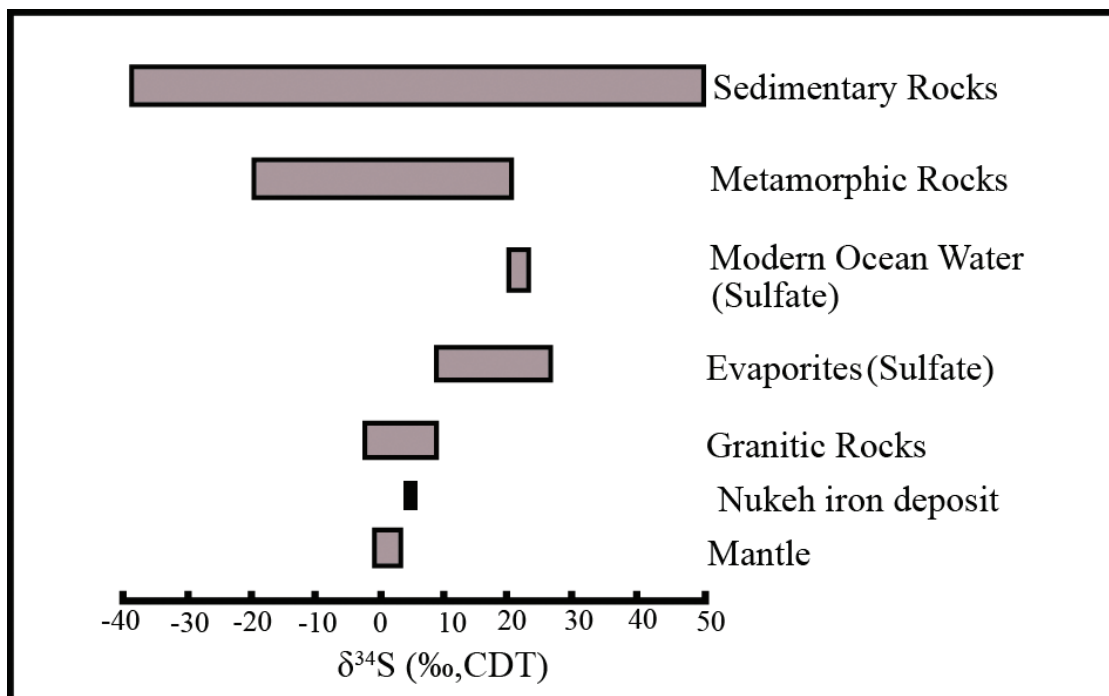
شکل ۸-الف) دمای همگن شدگی؛ ب) شوری میانبارهای سیال غنی از مایع در کلسیت های نوع a و کلسیت های نوع b در کاسار آهن نوکه.



شکل ۹- (الف) روندهای فیزیکی مربوط به تشکیل کانسار آهن نوکه (Wilkinson, 2001)؛ (ب) نمودار شوری در برابر دمای همگن شدن گزینه‌های سیال موجود در کانسار نوکه؛ (پ و ت) روند تغیرات چگالی، شوری و دمای همگن شدن گزینه‌های سیال‌های گرمابی با فرایندهای مرتبط با کانسار آهن نوکه (Wilkinson, 2001).



شکل ۱۰- (الف) نمودار $\delta^{13}\text{C}$ در برابر $\delta^{18}\text{O}$ کانی کلسیت در کانسار آهن نوکه (نمودار از 2001 Sun et al.; ب) موقعیت مقادیر $\delta^{13}\text{C}$ در برابر $\delta^{18}\text{O}$ کانی کلسیت کانسار نوکه در نمودار (Zang et al. 2004); (پ) موقعیت مقادیر ایزوتوبهای کربن و اکسیژن کانی کلسیت کانسار آهن نوکه در نمودار (2001 Gil et al.) که محدوده کانسارهای اسکارن نیز مشخص شده است؛ (ت) دامنه تغییرات مقادیر ایزوتوبی کربن مشتق شده از گوشته و محدوده $\delta^{13}\text{C}$ کانی کلسیت کانسار نوکه، در نمودار $\delta^{13}\text{C}$ نسبت به $\delta^{18}\text{O}$ و پراکندگی کانسارهای اسکارن (نمودار از 2005 Niiranen et al., 2005).



شکل ۱۱- دامنه تغییرات ایزوتوبی گوگرد در کانسار آهن نوکه و مقایسه آن با دیگر مخازن گوگرددار زمین‌شناسی (داده‌ها غیر از کانسار نوکه از (Hurtgen et al., 2004).

جدول ۱- توالی پاراژنزی کانی‌ها در کانسار آهن نوکه.

Mineral	Contact Metamorphism	Metasomatism		Weathering
		Prograde skarn	Retrograde skarn	
Magnetite				
Hematite				
Pyrite			—	
Chalcopyrites			—	
Garnet	—			
Biotite		—		
Chlorite			—	
Muscovite			—	
Epidote			—	
Quartz		—		
Calcite			—	
Mn- Oxides				
Goethite				
Limonite				

جدول ۲- نتایج داده‌های ایزوتوبی کربن و اکسیژن کانی کلسیت کانسار آهن نوکه (مقادیر بر حسب ‰).

Sample No.	Mineral	$\delta^{13}\text{C}$ (‰, PDB)	$\delta^{18}\text{O}$ (‰, PDB)	$\delta^{18}\text{O}$ (‰, SMOW)	T °C	$\delta^{18}\text{O}_{\text{Water}}$ (‰, SMOW)
NC01	Calcite a	+0/1	-18/4	+11/05	100	-6/04
NC02	Calcite b	-1/9	-17/3	+12/18	100	-4/91
NC03	Calcite a	-0/9	-17/7	+11/72	100	-5/37
NC04	Calcite a	-1/1	-18/1	+11/30	100	-5/79
NC05	Calcite a	-0/8	-18/7	+10/76	100	-6/34
NC06	Calcite a	-1/3	-19/4	+10/06	100	-7/03
NC07	Calcite a	-0/8	-18/5	+11/17	100	-6/13
NC08	Calcite a	-1/1	-18/3	+13/39	100	-5/92
NC09	Calcite b	-1/8	-17/2	+14/99	100	-4/78
NC10	Calcite b	-1/9	-16/1	+13/39	100	-3/70
NC11	Calcite b	-0/7	-14/9	+14/99	100	-2/40
NC12	Calcite a	-0/9	-18/1	+11/32	100	-5/77
NC13	Calcite b	-1/2	-18/4	+10/99	100	-6/10
NC14	Calcite a	-0/6	-17/9	+11/53	100	-5/56
NC15	Calcite a	-0/6	-18/2	+11/22	100	-5/87

برای به دست آوردن مقدار $\delta^{18}\text{O}_{\text{Water}}$ از فرمول تفکیک ایزوتوبی ارائه شده برای Calcite-water Friedman and O'Neil (1977) استفاده شده است.

جدول ۳- نتایج داده‌های ایزوتوبی گوگرد کانی پیریت در کانسار آهن نوکه (مقادیر بر حسب ‰).

Sample No.	Mineral	$\delta^{34}\text{S}$ (‰ CDT)
NP1	Pyrite	+4/2
NP2	Pyrite	+5/4
NP3	Pyrite	+5/3
NP4	Pyrite	+4/7
NP5	Pyrite	+4/3
NP6	Pyrite	+4/4
NP7	Pyrite	+3/9
NP8	Pyrite	+5/2
NP9	Pyrite	+5/1

کتابنگاری

- شاهحسینی، ا، قاسمی، ح. و فردوست، ف.، ۱۳۸۶- تشکیل اسکارن در حاشیه توده گرانیتوییدی نوکه، شمال خاور سمنان. یازدهمین همایش انجمن زمین‌شناسی ایران، دانشگاه فردوسی، مشهد.
- شهری، م، صادقیان، م. و لتر، د.، ۱۳۸۹- نتایج آنالیز مایکرورپروپ کانی‌های سازنده اسکارن‌های کلسیک آهن دار شمال سمنان. بیست و نهمین گردهمایی علوم زمین، سازمان زمین‌شناسی و اکتشافات معدنی کشور، تهران.
- صمدی، م.، چادری، م. و رشیدنژاد عمران، ن.، ۱۳۸۴- سنگ‌های آذرین شمال تا شمال خاور سمنان، پایان‌نامه کارشناسی ارشد، دانشگاه تربیت معلم، ایران، ۱۶۲ ص.
- غیاثوند، ع.، چادری، م. و رشیدنژاد عمران، ن.، ۱۳۸۸- کانی‌شناسی، ژئوشیمی و خاستگاه کانسارهای آهن شمال سمنان، مجله علوم زمین ۷۲ (۱۸): صص. ۳۳-۴۴.

References

- Bodnar, R. J. and Beane, R. E., 1980- Temporal and spatial variations in hydrothermal fluid characteristics during vein filling in preore cover overlying deeply buried porphyry copper type mineralization at Red Mountain, Arizona. *Economic Geology* 75: 876-893.
- Bodnar, R. J., 2003- Introduction to aqueous fluid inclusions. In: Samson, I., Anderson, A., and Marshall, D. (Eds.): *Fluid inclusions: Analysis and interpretation*. Mineralogical Association of Canada, Short Course 32: 81-99.
- Bodnar, R. J. and Vityk, M. O., 1994- Interpretation of microthermometric data for H₂O-NaCl fluid inclusions. In *Fluid Inclusions in Minerals, Methods and Applications*, B. De Vivo and M.L. Frezzotti, eds., pub. By Virginia Tech, Blacksburg, VA: 117-130.
- Cunningham, C., 1978- Pressure gradients and boiling as mechanisms for localizing ore in porphyry system. *Journal of Research U.S. Geology Survey* 6: 745-754.
- Drummond, S. E. and Ohmoto, H., 1985- Chemical evolution and mineral deposition in boiling hydrothermal systems. *Economic Geology* 80: 126-147.
- Faure, G. and Mensing, A., 2005- Principles of isotope geology, 2th edition, John Wiley and Sons, New York, chapter 25, 460P.
- Friedman, I. and O'Neil, J. R., 1977- Stable isotopic fractionation factors of geochemical interest. *U.S Geol. Surv. Prof. Pap.*:440KK.
- Gilg, H.A., Lima, A., Somma, R., Belkin, H. E., Devivo, B. and Ayuso, R. A., 2001- Isotope geochemistry and fluid inclusion study of skarn from Vesuvius. *Mineralogy and Petrology* 73: 145-176.
- Hedenquist, J. W. and Henley, R. W., 1985- Effect of CO₂ on freezing point depression measurement of fluid inclusions: Evidence from active systems and application to epithermal studies. *Economic Geology* 80: 1379-1406.
- Hoefs, J., 2009- Stable isotope geochemistry, 6th edition, Springer Verlag, Berlin Heidelberg New York, 293P.
- Hurtgen, M. T., Arthur, M. A. and Prave, A. R., 2004- The sulfur isotope composition of carbonate associated sulfate in Mesoproterozoic to Neoproterozoic carbonates from Death Valley, California. In: *GSA Special Papers* 379: 177-194.
- Larson, L. T., Miller, J. D., Nadeau, J. E. and Roedder, E., 1973- Two sources of error in low temperature inclusion homogenization determination and corrections on publish temperatures for the East Tennessee and Laisvall deposits. *Economic Geology* 68: 113-116.
- Niiranen, T., Manttari, I., Poutiainen, M., Nicholas H. S., Jodie, O. and Miller, A., 2005- Genesis of Palaeoproterozoic iron skarns in the Misi region, northern Finland. *Mineralium Deposita* 40: 192-217.
- Ohmoto, H., 1972- Systematics of sulfur and carbon isotopes in hydrothermal ore deposits. *Economic Geology* 67: 551-578.
- Ohmoto, H., 1986- Stable isotope geochemistry of ore deposits. *Rev Miner* 16: 491-559.
- Rollinson, H. R., 1993- Using geochemical data: evaluation, presentation, interpretation. Longman, U.K., 352P.
- Sharp, Z., 2006- Principles of stable isotope geochemistry, chapter 10:409P.
- Shepherd, T. J., Rankin, A. H. and Alderton, D. H. M., 1985- A practical guide to fluid inclusion studies. Blackie, Glasgow 239 P.
- Shimazaki, H., 1980- Characteristics of skarn deposits and related acid magmatism in Japan. *Economic Geology* 75: 173-183.
- Sun, J. G., Hu, S. X., Shen, K. and Yao, F. L., 2001- Research on C and O isotopic geochemistry of intermediate-basic and intermediate-acid dykes in goldfields of Jiaodong peninsula. *Acta Petrologica et Mineralogica* 20, 47-56 (in Chinese with English abstract).
- Taylor, Jr., H. P., 1974- The application of oxygen and hydrogen isotope studies to problems of hydrothermal alteration and ore deposition. *Economic Geology* 69: 843-883.
- Wilkinson, J. J., 2001- Fluid inclusions in hydrothermal ore deposits. *Lithos* 55: 229-272.
- Zang, W. S., Wu, G. G., Zhang, D. and Liu, A. H., 2004- Xinqiao iron-deposit field in Tongling, Anhui: geologic and geochemical characteristics and genesis. *Geotectonica et Metallogenica* 28: 187-193 (in Chinese with English abstract).

The evolution of ore-forming fluids and genesis of Nukeh iron deposit, North Semnan based on evidence from fluid inclusions and S, C, O: stable isotopes

S. Esmailnezhad¹, N. Taghipour^{2*} and A. A. Hassannezhad²

¹Msc., School of Earth Sciences, Damghan University, Damghan, Iran

²Assistant Professor, School of Earth Sciences, Damghan University, Damghan, Iran

Received: 2016 April 17

Accepted: 2016 September 18

Abstract

The Nukeh iron deposit is situated at the north of Semnan and at south of Central Alborz structural zone. Volcano-pyroclastic rocks with Eocene age are the host of this deposit. Iron mineralization occurs as massive, disseminated, vein and breccia types in the Nukeh deposit and magnetite, hematite, pyrite, chalcopyrite, garnet, epidote, quartz and calcite are the main minerals in this deposit. Fluid inclusions and stable isotopes (O, C, S) have been used to reveal the physico-chemical characteristics of hydrothermal fluids and genesis of the Nukeh Fe deposit. Seven types of fluid inclusions are identified in quartz, according to the phase numbers, which include, liquid inclusions (L), liquid-rich inclusions (L+V), vapor-rich inclusions (V+L), vapor inclusions (V), simple brine inclusions (L+V+S), halite-bearing liquid inclusions (L+S) and opaque-bearing liquid-rich inclusions (L+V+O). The ranges of homogenization temperature and salinity of liquid-rich fluid inclusions in quartz are 100-200°C and 10-20 wt. % NaCl equivalent, respectively, whereas the ranges of homogenization temperature and salinity of vapor-rich fluid inclusions are 350-500°C and 10-30 wt. % NaCl equivalent, respectively. Also homogenization temperature and salinities of liquid-rich fluid inclusions in calcite in garnet (type a) and magnetite (type b) zones is 75-125 °C but the salinity of fluid inclusions in calcite in garnet zone (15-25 wt. % NaCl) is more than salinity of these inclusions in magnetite zone (10-20 wt. % NaCl). $\delta^{13}\text{C}$ and $\delta^{18}\text{O}$ values of calcite ($n=15$) vary between -1.9 to +0.1 ‰_(VPDB) and -19.4 to -14.9 ‰_(SMOW), respectively. The average value of $\delta^{18}\text{O}_{\text{Water}}$ is +17.85 ‰_(SMOW) in the Nukeh Fe deposit is different from the values for the primary magmatic fluid. Pyrite is the main sulfide mineral in the Nukeh Fe deposit and $\delta^{34}\text{S}$ values of pyrite ($n=9$) is within the range of +3.9 to +5.4 ‰_{CDT}. The source of sulfur is considered to be magmatic on this basis. Fluid inclusions and stable isotopic (O, C, S) data suggest that the ore-forming fluids evolved by the various mixtures of magmatic brines and meteoric water and probably the genesis of the Nukeh Fe deposit is similar to skarn deposits.

Keywords: Fluid inclusions, Stable isotope, Nukeh iron deposit, Semnan.

For Persian Version see pages 309 to 322

*Corresponding author: N. Taghipour; E-mail: taghipour@du.ac.ir